



طراحی، سنتز و نشاندار سازی مشتقات تری پتیدی با استفاده از تکنسیم^{99m} برای تشخیص بافت هیپوکسی

محمدحسن هوشدارتهرانی (PhD)^{۱*}، مهتاب محمدپور (Pharm D)^۲، ثریا شاه‌حسینی (PhD)^۱

^۱ گروه شیمی دارویی و داروسازی هسته‌ای، دانشکده داروسازی، دانشگاه علوم پزشکی و خدمات بهداشتی، تهران، ایران

^۲ واحد علوم دارویی، دانشگاه آزاد اسلامی، تهران، ایران

(دریافت مقاله: ۹۷/۱۰/۱۱ - پذیرش مقاله: ۹۷/۱۲/۲۲)

چکیده

زمینه: در بسیاری از بیماری‌ها نظیر سرطان، ایسکمی و تومورها هیپوکسی بافتی وجود دارد. پس شناسایی و تشخیص بافت هیپوکسی با ترکیباتی که قابلیت نفوذ و ماندگاری را در سلول هیپوکسی داشته باشند، از اهمیت بسزائی برخوردار می‌باشد. استفاده از پیپتیدهای با وزن مولکولی کم، حساس به محیط اکسیداسیون احیا، با نفوذ بافتی بهتر از آنتی بادی‌ها و پروتئین‌ها و با خصوصیت آنتی ژنیک کم می‌تواند انتخاب مناسبی برای این منظور باشد. بنابراین نشاندارسازی مشتقات پیپتیدی چربی دوست حامل ترکیبات نیترو با تکنسیم رادیو اکتیو (^{99m}Tc)، به دلیل جذب و ماندگاری بالا در سلول‌های هیپوکسی می‌توانند به عنوان معرف‌های تشخیصی مناسب برای تصویربرداری از بافت هیپوکسی تومورها مورد استفاده قرار گیرند تا اقدامات درمانی به موقع و مؤثرتر سرطان انجام گیرد.

مواد و روش‌ها: در این مطالعه تری پیپتیدهایی که به انتهای آن‌ها گروه پارانیتروبنزوئیک اسید (PNBA) اضافه شده است، به روش سنتز بر روی فاز جامد (Fmoc SPPS) و با رزین ونگ (Wang resin) سنتز شدند که شناسایی تشکیل آن‌ها توسط اسپکترومتری جرمی انجام گرفت. پیپتیدهای سنتز شده با ^{99m}Tc نشاندار شدند. خصوصیات فیزیکوشیمیایی و خلوص رادیو شیمیایی پیپتیدهای نشاندار شده حاصل توسط تکنیک کروماتوگرافی و تعیین ضریب توزیع مورد بررسی قرار گرفت. همچنین به منظور ارزیابی جذب و ماندگاری پیپتیدهای نشاندار شده در سلول‌ها در طول زمان‌های ۳۰ تا ۱۲۰ دقیقه، از سلول‌های MCF-7 در شرایط نرمال و هیپوکسی شده توسط جار هیپوکسی استفاده گردید.

یافته‌ها: سنتز پیپتیدها بازده خوبی (۷۰ تا ۷۸ درصد) را به دست داد. پیپتیدهای سنتز شده و نشاندار از پایداری خوبی در نرمال سالین و پلاسما انسانی تا حداقل ۴ و ۶ ساعت به ترتیب برخوردار بودند. خلوص رادیوشیمیایی پیپتیدهای سنتز شده حدود ۹۴ درصد بود و لیوفیلیسیته پیپتیدهای حاصل قابل قبول (لگاریتم ضریب توزیع آن‌ها ۰/۰۰۶-) تشخیص داده شد. نتایج همچنین نشان داد که پیپتیدهای نشاندار شده در سلول‌های هیپوکسی ماندگاری بیشتری نسبت به سلول‌های نرمال دارند.

نتیجه‌گیری: با توجه به نتایج به دست آمده در این مطالعه، مشتقات پیپتیدی نشاندار شده با تکنسیم^{99m} می‌توانند به عنوان معرف‌های مناسب برای تشخیص بافت‌های هیپوکسی به خدمت گرفته شوند.

واژگان کلیدی: سنتز فاز جامد، پیپتید، نشاندار سازی، تکنسیم^{99m}، هیپوکسی

* تهران، گروه شیمی دارویی و داروسازی هسته‌ای، دانشکده داروسازی دانشگاه علوم پزشکی و خدمات بهداشتی، تهران، ایران

مقدمه

هیپوکسی به کاهش اکسیژن در سطح سلولی گفته می‌شود. هیپوکسی می‌تواند در اثر ایسکمی (خون ناکافی) و یا هیپوکسمی (O_2 ناکافی) ایجاد شود که متداول‌ترین آن ایسکمی است. ایسکمی حالتی است که در آن تقاضا برای اکسیژن بیشتر از عرضه اکسیژن می‌باشد (۱). در بافت توموری تقاضا بیشتر از عرضه‌ی اکسیژن است و بنابراین با کاهش فشار اکسیژن در بافت توموری مواجه هستیم (۱ و ۲). بافت هیپوکسی توموری به علت کاهش سطح خون‌رسانی و به تبع کاهش دارورسانی، به شیمی درمانی و رادیوتراپی مقاوم می‌باشد (۳-۶). بنابراین تشخیص به موقع بافتی که دچار کمبود اکسیژن شده است در تشخیص و پیگیری روند درمان حائز اهمیت خواهد بود. اگر بافت هیپوکسی به موقع شناسایی و درمان نشود، به مرور به بافت مرده و نکروزه تبدیل می‌شود و این حالت برای ارگان‌های حیاتی بسیار تهدید کننده است (۳ و ۷).

بنابراین شناسایی بافت هیپوکسی توسط ترکیباتی که تمایل کافی و مناسب را به بافت هیپوکسی داشته باشند، بسیار حائز اهمیت است. این ترکیبات باید بتوانند به داخل بافت هیپوکسی نفوذ کرده و قابلیت ماندگاری را حداقل برای مدتی که بافت هیپوکسی توسط سیستم‌های تصویربرداری مانند دوربین‌های گاما قابل رؤیت باشد، را داشته باشند. از طرفی این ترکیبات نباید برای بافت هیپوکسی و بافت‌های دیگر سمی باشند (۳). نیتروایمیدازول‌ها از ترکیباتی هستند که در متابولیسم‌های داخل سلولی (بسته به میزان اکسیژن داخل سلول) شرکت می‌کنند و از اولین ترکیباتی هستند که به عنوان عوامل تصویربرداری بافت هیپوکسی معرفی شده‌اند (۸). وقتی نیتروایمیدازول وارد یک سلول زنده می‌شود توسط یک الکترون احیا شده و در

حضور میزان معمول اکسیژن موجود در سلول مجدداً اکسید شده و امکان خروج مجدد آن از سلول فراهم می‌شود. اما در بافت هیپوکسی امکان اکسیداسیون مجدد وجود ندارد و مولکول یک مرحله دیگر احیا شده و به اجزا داخل سلول متصل و در بافت به تله می‌افتد (۸). ترکیباتی بر اساس ساختمان نیترو ایمیدازول‌ها طراحی و سنتز شده‌اند (۹). این ترکیبات با رادیونوکلوئیدهای مختلف نشاندار شده و در مطالعات به کار رفته‌اند. در مقاله‌ای، ترکیب پیمونیدازول (Pimonidazole) مورد بررسی قرار گرفته است. در این مطالعه جذب و نفوذ پیمونیدازول به داخل بافت هیپوکسی سلول‌های کارسینومای رحم مورد بررسی قرار گرفت و با پاسخ‌دهی ۹ بیمار از ۱۰ بیمار مورد سنجش، فرضیه اولیه مبنی بر موفق بودن نفوذ پیمونیدازول به درون بافت هیپوکسی، تأیید شد (۱۰). در مقاله دیگری ترکیب BRU59-21 که مشتقی از نیتروایمیدازول است، با ^{99m}Tc نشاندار شد و جذب و ماندگاری آن در سلول، در شرایط حضور و عدم حضور اکسیژن مورد بررسی قرار گرفته است. در این مقاله بیان شده است که انتقال رادیو دارو به خارج از سلول، بستگی مستقیم به غلظت اکسیژن سلولی دارد. در شرایط بی‌هوازی و عدم حضور اکسیژن در سلول، خروج رادیو دارو از سلول کمتر شده و در نتیجه غلظت رادیو دارو و ماندگاریش در سلول بیشتر می‌شود (۱۱). بهر حال، حذف شدن نیترو ایمیدازول‌ها از بافت‌های سالم، زمان بر است و به علت غلظت نسبتاً کم نیتروایمیدازول در محل بافت هیپوکسی، تشخیص ناحیه هیپوکسی با مشکل مواجه است. بنابراین نیاز به ترکیباتی است که براحتی نشاندار شده و قابلیت نفوذ و ماندگاری در بافت هیپوکسی را داشته باشند و سمی هم نباشند. استفاده از پپتیدها با وزن مولکولی کم به عنوان جایگزین پروتئین در موارد

تشخیصی و درمانی در پزشکی هسته‌ای مورد توجه می‌باشد (۱۲)، زیرا پپتیدها نسبت به آنتی‌بادی‌ها و پروتئین‌ها کوچک‌تر بوده و نفوذ بافتی بهتری را دارا می‌باشند. از طرفی سنتز و نشانداری کردن آن‌ها با رادیوایزوتوپ‌ها راحت‌تر می‌باشد و در عین حال آنتی‌ژنیسیته نداشته و واکنش‌های حساسیتی کمتری را ایجاد می‌کنند (۳ و ۷). اولین بار، پپتیدی را با ^{111}In برای استفاده در پزشکی هسته‌ای، نشانداری شد (۱۳). چندین سال بعد در مقاله‌ای، سنتز ۲۸ پپتید گزارش شد که نشاندارسازی آن‌ها با رادیونوکلید $^{99\text{m}}\text{Tc}$ مورد بررسی قرار گرفت. در این مقاله، نتیجه شد که هر پپتیدی با هر اسید آمینه‌ای قادر به نشانداری شدن نمی‌باشد. در واقع اسید آمینه‌های خاصی مانند سیستین، گلیسین و سرین قابلیت برقراری پیوند با پرتکتات را دارند (۱۴). در مقاله‌ای چاپ شده، که در آن پپتیدی با ۸ آمینو اسید که عمدتاً دارای لوسین بود (ML پپتید) سنتز و با ^{64}Cu نشانداری شد تا میزان جذب آن در بافت سرطانی پروستات مورد بررسی قرار گیرد. (۱۵). در مقاله‌ی دیگری، پپتیدی با سکانس ۱۰ اسید آمینه سنتز شد و توسط رادیوایزوتوپ $^{99\text{m}}\text{Tc}$ نشانداری شد و میزان تمایل آن به پلی‌پپتیدی از سلول‌های نوتروفیل پستانداران، بررسی و آزمایش شد (۱۶). مقاله‌ای دیگر در زمینه‌ی میزان جذب پپتیدها توسط سلول‌های توموری منتشر شد. در این مقاله پپتیدی سنتز شد، که هر دو بخش ابتدایی و انتهایی آن توسط پلی‌اتیلن گلیکول (PEG) محافظت شده و سپس توسط رادیوایزوتوپ فلور-۱۸ نشانداری شد و میزان جذب آن در سلول‌های توموری موش مورد بررسی قرار گرفت. در این مقاله وجود PEG را به علت افزایش لیپوفیلیسیته پپتید مناسبی دانستند و جذب پپتید به داخل بافت مربوطه را مثبت برآورد کردند (۱۷). برای نشانداری

کردن مولکول‌های شیمیایی، رادیونوکلییدی مورد نظر است که خصوصیات فیزیکی مناسب (نیمه عمر، مقدار انرژی و فراوانی تابش‌های گاما) را داشته باشد، براحتی در دسترس و ارزان باشد. تکنسیوم $^{99\text{m}}\text{m}$ با نیمه عمر ۶ ساعت، تابش گاما با انرژی 140 KeV و فراوانی ۹۰ درصد به راحتی از طریق ژنراتور $^{99}\text{Mo}/^{99\text{m}}\text{Tc}$ در دسترس بوده و ارزان قیمت نیز می‌باشد. در عین حال به علت شیمی مناسب و شناخته شده تکنسیوم $^{99\text{m}}\text{m}$ ، نشانداری کردن ترکیبات با آن راحت‌تر است (۱۳). در این راستا، ترکیبات پپتیدی در اتصال به نیترو ایمیدازول‌ها به عنوان شلاتور تکنسیم $^{99\text{m}}\text{m}$ برای شناسایی تومورهای هیپوکسی به کار رفته‌اند (۱۸) در تحقیق حاضر دو پپتید با زنجیره کوتاه که حامل یک ترکیب نیترودار است سنتز و با رادیونوکلید $^{99\text{m}}\text{Tc}$ نشانداری گردیده است و ترکیبات حاصل مورد ارزیابی فیزیکوشیمیایی همراه با مطالعات جذب سلولی آن‌ها در شرایط هوازی و بی‌هوازی قرار گرفته است.

مواد و روش‌ها

مواد و دستگاه‌ها

رزین ونگ (Wang resin) و آمینو اسیدهای با آمین محافظت شده توسط گروه فلورونیل متوکسی کربونیل (Fmoc-AA)، معرف‌های سنتز پپتید از جمله هیدروکسی بنز تریازول (HOBt) و دی ایزو پروپیل کربودی ایمید (DIC)، از شرکت باخم (Bachem) سوئیس و سانتا کروز (Santa Crus) آمریکا، حلال‌های لازم، پی‌پرازین، پارانیتروبنزوئیک اسید، اسید تری فلوئورو استیک از شرکت مرک (Merck) خریداری شد. راکتور شیشه‌ای استوانه‌ای فیلتردار از بخش خصوصی خریداری شد. دستگاه‌های آنالیز از جمله کروماتوگرافی با کارکرد بالا (HPLC) و نگارنده جرمی

رزین صورت گرفت و آمینو اسید سوم سرین (یا ایزو لوسین) برای اتصال به پپتید متصل به رزین به واکنش گاه اضافه شد. در انتها، از ۱/۴ میلی مول پارانیتروبنزوئیک اسید بمانند یک آمینو اسید برای اتصال به زنجیره تری پپتیدی متصل به رزین استفاده گشت. سرانجام رزین حاوی تری پپتید متصل به ترکیب نیترو، با حلال‌های دی متیل فرمامید، دی کلرومتان و متانول (هر کدام سه بار) شستشو داده شد و سپس رزین تحت خلاء خشک گردید. از ۵۰ درصد اسید تری فلوئورو استیک در دی کلرومتان حاوی مواد کمکی (scavengers) (شامل ۷ تا ۸ قطره آنیزول و ۱۰۰ میکرولیتر تری ایزوپروپیل سیلان و ۱۰ میکرولیتر آب و ۰/۲ گرم فنول) برای جداسازی پپتید حاوی ترکیب نیترو از رزین استفاده شد. محلول پپتیدی حاصل پس از جدایی از رزین و صاف شدن، به صورت قطره قطره به دی اتیل اتر سرد اضافه گشت و رسوب تشکیل شده از اتر جدا و برای آزمایش‌های بعدی در جای سرد و خشک نگهداری شد. برای تعیین خلوص شیمیایی پپتیدها از کروماتوگرافی مایع با کارایی بالا (HPLC) به همراه نگارنده‌ی جرمی (LC-MS) استفاده شد.

نشانداری سازی پپتیدهای سنتز شده

مواد لازم: محلول ذخیره پپتید (با غلظت یک میلی گرم در میلی لیتر متانول)، محلول دی سدیم تارتارات (۰/۲ مولار در آب)، بافر استات آمونیوم (۰/۵ مولار با pH برابر ۶/۲)، پرتکتات سدیم (NaTcO_4) (که از ژنراتور $^{99}\text{Mo}/^{99m}\text{Tc}$ به کمک ویال خلاء و شستشو با سدیم کلراید ۰/۹ درصد استریل، به طور تازه تهیه می شود)، محلول کلرید قلع (SnCl_2) به غلظت یک میلی گرم در یک میلی لیتر اسید کلریدریک ۰/۱ مولار.

متصل به دستگاه کروماتوگرافی مایع (LC-MS) از شرکت شیماتزوی ژاپن می باشد. ژنراتور $^{99}\text{Mo}/^{99m}\text{Tc}$ از شرکت پارس ایزوتوپ، تهران تهیه شد. دستگاه دوز کالیبراتور از سازمان انرژی اتمی خریداری شده است. دستگاه جار هیپوکسی سفارش داخل بوده و از بخش خصوصی خریداری شده است.

سنتز پپتیدهای (۱) PNBA-SVC و (۲) PNBA-IAC

مراحل سنتز پپتیدها به شرح زیر است.

داخل واکنش گاه مقدار ۱ گرم رزین ونگ به همراه ۱۰ میلی لیتر مخلوط دی متیل فرمامید و دی کلرومتان (به نسبت ۱:۱) برای مدت ۳۰ دقیقه انکوبه شد تا متورم گشت. مقدار ۱/۱۷ گرم از اسید آمینه سیستئین محافظت شده Fmoc-Cys به همراه ۰/۲۸۴ گرم هیدروکسی بنزتریازول (HOBt) و ۰/۲ میلی لیتر دی ایزوپروپیل کربودی ایمید (DIC) در ۵ میلی لیتر دی متیل فرمامید حل شد و به رزین متورم اضافه گشت. به این مجموعه، ۰/۱۲۲ گرم دی متیل آمینو پیریدین (محلول در ۳ میلی لیتر دی متیل فرمامید) اضافه شد. مخلوط واکنش به مدت ۴ ساعت توسط دستگاه همزن، در حرارت آزمایشگاه هم زده شد. سپس ۰/۲ میلی لیتر پیریدین به محیط واکنش افزوده شد و همزدن به مدت یک ساعت دیگر ادامه یافت. به منظور برداشتن گروه محافظ آمین انتهایی آمینو اسید متصل به رزین، ۱۰ میلی لیتر پی پرازین (۱۰ درصد در دی متیل فرمامید) به واکنش گاه اضافه شد. برای اتصال آمینو اسید دوم به آمینو اسید اول متصل به رزین، ۱/۴ میلی مول آمینو اسید والین (یا آلانین) همراه با HOBt و DIC محلول در دی متیل فرمامید (با مقادیر ذکر شده در بالا) به واکنش گاه افزوده شد. پس از همزدن واکنش به مدت ۴ ساعت، محافظت برداری از گروه آمین آمینو اسید دوم متصل به

ورقه به مقدار کل فعالیت ورقه مربوطه (۱/۳) به علاوه (۲/۳) تقسیم شد و حاصل به صورت درصد محاسبه شد. برای ورقه دوم (با حلال آب و استونیتریل)، فعالیت ۱/۳ بخش پایینی به مقدار کل فعالیت ورقه مربوط تقسیم شد و حاصل به صورت درصد محاسبه شد. با جمع دو مقادیر بالاو کم کردن مجموعه از درصد کل (۱۰۰)، درصد پپتید نشان دار شده به دست آمد.

بررسی میزان ضریب توزیع (تعیین Log P)

در یک سیستم حلال دوفازی مرکب از سرم فیزیولوژی (نرمال سالین) و اکتانول (با حجم‌های برابر)، ۱۰۰ میکرولیتر پپتید نشان‌دار شده اضافه شد. پس از بهم خوردن دوفاز و ساکن شدن آن‌ها، از هر فاز ۱۰۰ میکرولیتر برداشته شد و میزان فعالیت آن محاسبه گردید. لگاریتم نسبت فعالیت فاز آلی به فعالیت فاز آبی، لگاریتم ضریب توزیع (Log P) را به دست داد.

بررسی پایداری پپتیدهای سنتز شده و نشاندار

بررسی پایداری پپتیدهای سنتز شده توسط LC-MS صورت گرفت. پپتیدها با پروتئین‌های پلاسما در حرارت ۳۷°C انکوبه شده و در زمان ۲ و ۴ ساعت پس از انکوباسیون، با اضافه کردن استونیتریل پروتئین‌های پلاسما رسوب کرده و پس از سانتریفیوژ، مایع‌روئی یا سوپرناتانت توسط LC-MS مورد ارزیابی قرار گرفت. به منظور ارزیابی پایداری پپتید نشاندار شده با ^{99m}Tc در نرمال سالین (محلول سدیم کلراید ۰/۹ درصد) و پلاسما انسانی، ۲۰۰ میکرولیتر از رادیوپپتیدها به ۱۸۰۰ میکرولیتر پلاسما انسانی و نرمال سالین به طور جداگانه افزوده و به ترتیب در دمای آزمایشگاه و ۳۷°C انکوبه شد. در زمان‌های ۲، ۴ و ۶ ساعت پس از انکوباسیون، با تعیین خلوص رادیوشیمیائی از ظرف حاوی نرمال سالین میزان پایداری رادیوپپتید در نرمال

روش کار: در یک ویال واکنش، پپتید مورد نظر (۵۰ میکرولیتر)، سدیم تارتارات (۲۰۰ میکرولیتر)، آمونیوم استات (۴۰ میکرولیتر)، کلرید قلع (۵۰ میکرولیتر)، سدیم پرتکتات (۷-۱۰ میکرو کوری) اضافه شد. و ویال به مدت ۳۰ دقیقه در مجاورت یک سپر سربی در دمای اتاق انکوبه شد تا کمپلکس تشکیل گردد.

تعیین بازده نشاندارسازی

به منظور حذف ناخالصی‌ها، محتوی ویال واکنش از کارتریج C18 عبور داده شد و کارتریج با آب مقطر (۱۰ میلی‌لیتر) برای حذف ^{99m}TcO₂ و ^{99m}TcO₄⁻ شستشو داده شد. سپس پپتید نشاندار شده توسط شستشو با اتانول ۹۶ درصد (۱۰ میلی‌لیتر) از کارتریج جدا شد و کارائی نشاندارسازی با توجه به اکتیویته کل طبق فرمول زیر محاسبه گردید:

$$\text{کارائی نشاندار سازی \%} = \frac{\text{فعالیت فاز آلی}}{\text{فعالیت کل}} \times 100$$

بررسی خلوص رادیو شیمیایی پپتیدهای (RCP%)

نشان‌دار شده

بر روی هر یک از دو ورقه کروماتوگرافی غشاً نازک (TLC) سلیکاژل به ابعاد ۲×۱۰ سانتی‌متر، مقدار ۱۰ میکرولیتر از محتویات واکنش لکه‌گذاری شد. ورقه اول در تانک حاوی اتیل متیل کتون به‌عنوان حلال بالا برنده (فاز متحرک) و ورقه دوم در تانک حاوی آب مقطر و استونیتریل (به نسبت ۱:۱، به‌عنوان فاز متحرک) قرار گرفت. پس از انجام کروماتوگرافی، ورقه‌ها خشک شد و سپس با در نظر گرفتن میزان حرکت نمونه‌ها روی ورقه‌های کروماتوگرافی، آن‌ها به نسبت ۱/۳ از پایین و ۲/۳ از بالا برش داده شدند. فعالیت هر قسمت بریده شده توسط دستگاه گاما کانتر شمارش شد. برای ورقه اول (با حلال اتیل متیل کتون) فعالیت ۲/۳ بخش بالای

گرانول‌های ۴ ترکیب شیمیایی سدیم بوروهیدرات، سدیم بی‌کربنات، اسید سیتریک و کبالت کلراید است. این ترکیبات، هم تا حدی رطوبت محیط را جذب می‌کنند، هم با جذب اکسیژن محیط داخلی جار، شرایط هیپوکسی را فراهم می‌کنند.

مطالعه در شرایط هوازی

در ابتدا سلول‌های MCF-7 در یک فلاسک حاوی محیط کشت RPM11640 (دارای بافر فسفات و آنتی‌بیوتیک) به مدت ۲۴ ساعت در انکوباتور حاوی CO_2 ۵ درصد و رطوبت قرار گرفت. سپس سلول‌ها به کمک تریپسین ۵ درصد از فلاسک جدا شده و توسط سانتریفیوژ از محیط جدا شد. سلول‌ها به تعداد ۱۰۶ در هر دو خانه از ۴ پلیت ۶ خانه‌ای استریل کشت داده شد و به مدت ۲۴ ساعت در دمای ۳۷ درجه سانتی‌گراد قرار گرفت. سپس محیط کشت سلول‌های هر خانه آسپیره شد و خانه‌ها با محیط کشت تازه شستشو داده شد. هر یک از پپتیدهای نشاندار شده که با کارتریج C18 خالص شده بود با حجمی که معادل با فعالیت ۱۰ میکروکوری بود به هر خانه از پلیت ۶ خانه‌ای محتوی سلول‌ها اضافه شد. خانه‌های پلیت سپس با محیط کشت تازه تا حجم ۲۰۰۰ میکرولیتر پر شد. پلیت‌ها در بازه‌های زمانی ۳۰، ۶۰، ۹۰، ۱۲۰ دقیقه در دمای ۳۷ درجه سانتی‌گراد انکوبه شدند. در پایان زمان انکوباسیون اختصاص داده شده به هر پلیت، پلیت مربوطه از انکوباتور خارج شد و محیط‌روبی هر خانه تخلیه گردید. سلول‌های هر خانه ۳ تا ۵ مرتبه با ۲۰۰۰ میکرولیتر بافر فسفات سرد استریل شستشو داده شد و بافر مربوطه تخلیه شد. سپس به هر خانه ۲۰۰۰ میکرولیتر سدیم استات ۴۰ میلی‌مولار سرد و استریل افزوده شد و پلیت به مدت ۵ دقیقه در دمای ۴ درجه

سالین مشخص شد و جهت بررسی پایداری در پلاسما، مقدار ۱۰۰ میکرولیتر از ظرف حاوی پلاسما برداشته و ۱۰۰ میکرولیتر استونیتریل سرد به منظور رسوب پروتئین‌های پلاسمایی به هر یک از نمونه‌ها اضافه گردید. سپس نمونه‌ها با دور ۱۰۰۰۰G به مدت ۱۰ دقیقه سانتریفیوژ و میزان اکتیویته در رسوب (پلت) و مایع‌رویی (سوپرناتنت) توسط شمارنده گاما تعیین شد. نسبت میزان اکتیویته سوپرناتنت به اکتیویته رسوب تعیین کننده مقدار پپتید پایدار (رادئوپپتید موجود در سوپرناتنت) به پپتید ناپایدار (رادئوپپتید حبس شده در رسوب) است. میزان اتصال رادئوپپتید به پروتئین‌های پلاسمایی از روی میزان اکتیویته رسوب تعیین گردید برای هر زمان سه نمونه در نظر گرفته شد.

مطالعات جذب سلولی

وسایل لازم: جار هیپوکسی، گس پک بی‌هوازی، پتری دیش، پلیت‌های استریل ۶ خانه‌ای.

جار هیپوکسی ظرفی استوانه‌ای با دهانه عریض و درب (سرپوشی) است که پلمپ شده و اجازه تبادل هوا با محیط خارج را نمی‌دهد. بر روی درب این ظرف خروجی متصل شونده به سیستم تولید CO_2 قرار دارد. در داخل درب این وسیله، یک بسته فلزی کوچک، حاوی ذرات فلزی پالادیوم قرار گرفته است. در شرایطی که نتوان از سیستم القای شرایط هیپوکسی بهره برد، داخل این ظرف یک گس پک قرار می‌گیرد که تولید CO_2 و H_2 می‌کند و در همراهی با بسته پالادیوم که نقش جذب اکسیژن محیط را ایفا می‌کند، شرایط هیپوکسی نسبی را برقرار می‌نماید. گس پک بی‌هوازی (Anaerobic Gas Pak) یک بسته‌ای ده خانه است. روی این خانه‌ها به وسیله پوششی از جنس کاغذ نم‌گیر پوشانده شده است. داخل هر خانه، مخلوطی از

سانتی‌گراد انکوبه شد. بعد از این مدت، محیط مائی هر خانه با سمپلر جدا و به یک لوله میکرو سانتریفیوژ منتقل شد و سپس فعالیت پرتویی موجود در محلول (سوپرناتانت) توسط دستگاه گاما کانتر محاسبه شد. در مرحله آخر، به هر خانه ۲۰۰۰ میکرولیتر سدیم هیدروکساید ۱ مولار استریل اضافه شد تا در مدت ۳۰ ثانیه با حرکت دورانی پلیت‌ها، لیز سلولی هر خانه ایجاد شود. سپس محتویات هر خانه از پلیت‌ها با سمپلر خارج شد و با انتقال به لوله‌های میکروسانتریفیوژ از نظر میزان فعالیت پرتوژیایی توسط دستگاه گاما کانتر مورد ارزیابی قرار گرفت.

مطالعه در شرایط بی‌هوازی

پس از تکثیر سلول‌ها و جداسازی و شمارش آن‌ها مطابق روش بالا، تعداد $1/5 \times 10^6$ سلول در داخل هر یک از چهار پتری دیش قرار گرفت. حجم محیط کشت در هر پتری دیش به میزان ۳۰۰۰ میکرولیتر تنظیم شد. پتری دیش‌ها برای تکثیر و چسبیدن سلول‌ها به کف ظرف برای مدت ۲۴ ساعت در ۳۷ درجه سانتی‌گراد داخل انکوباتور قرار گرفتند. پس از پایان انکوباسیون، پتری دیش‌ها درون جار هیپوکسی در مجاور یک گس‌پک بی‌هوازی آماده شده قرار گرفتند. در جار هیپوکسی یک بسته کوچک حاوی متیلن بلو قرار داده شد. رنگ این بسته در ابتدا آبی است ولی با افت فشار اکسیژن بی‌رنگ شده که مؤید ایجاد شرایط هیپوکسی در جار است. پس از ۴ ساعت، محیط کشت هر پتری دیش آسپیره شد و طبق روال قبل سلول‌ها با بافر تازه شستشو داده شدند. مقدار ۱۰ میلی‌کوری از هر پپتید نشاندار به هر پتری دیش اضافه شد و مابقی فضای پتری دیش‌ها تا حجم ۳۰۰۰ میکرولیتر با محیط کشت تازه پر شد. پتری دیش‌ها در چهار بازه زمانی ۳۰، ۶۰، ۹۰ و

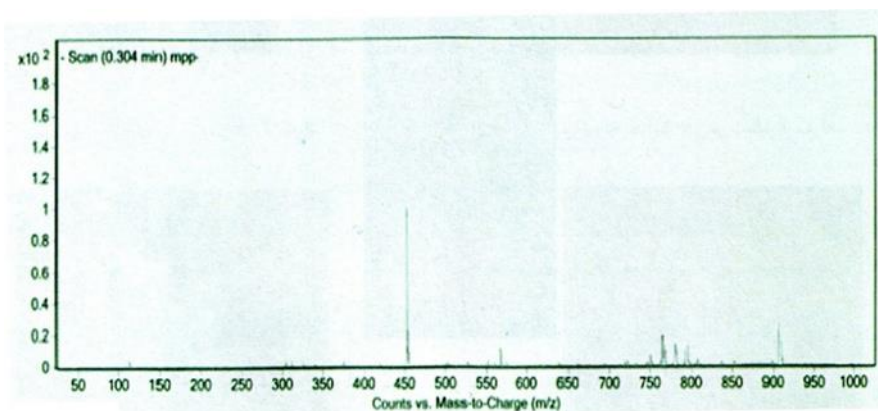
۱۲۰ دقیقه در جار هیپوکسی در شرایط بی‌هوازی نسبی انکوبه شدند. سپس محیط کشت هر پتری دیش در پایان بازه زمانی مربوطه تخلیه و سطح داخلی آن با ۲۰۰۰ میکرولیتر بافر فسفات سرد و استریل، سه تا پنج مرتبه شستشو داده شد. بعد از این مرحله، به هر پتری دیش، مانند مدل سلول‌های نرمال غیرهیپوکسی، سدیم استات استریل به میزان ۲۰۰۰ میکرولیتر اضافه شد و پتری دیش‌ها به مدت ۵ دقیقه در دمای ۴ درجه سانتی‌گراد قرار گرفتند. سپس، محلول روی آن‌ها تخلیه و به یک لوله میکروسانتریفیوژ جهت ارزیابی فعالیت پرتوژیایی توسط دستگاه گاما کانتر منتقل شد. از طرف دیگر، مقدار ۲۰۰۰ میکرولیتر سدیم هیدروکساید ۴۰ میلی‌مولار به هر پتری دیش اضافه شد و با حرکت دورانی پتری دیش‌ها به مدت ۶۰ ثانیه لیز سلولی انجام گردید. حاصل لیز سلولی با سمپلر به لوله‌های میکروسانتریفیوژ منتقل شد و میزان فعالیت پرتوژیایی آن‌ها با دستگاه گاما کانتر اندازه‌گیری شد.

یافته‌ها

شکل‌های ۱ و ۲ طیف‌های LC-Mass پپتیدهای سنتز شده را نشان می‌دهد در جدول ۱ نتایج سنجش خصوصیات پپتیدهای سنتز شده، میزان نشاندارسازی شده پپتیدها به‌همراه لگاریتم ضریب توزیع آن‌ها در سیستم آب و روغن نشان داده شده است. نتایج بررسی برداشت سلولی رادیو پپتیدها توسط سلول‌های MCF-7 در شرایط هوازی و بی‌هوازی در زمان‌های مختلف در شکل ۳ آورده شده است.

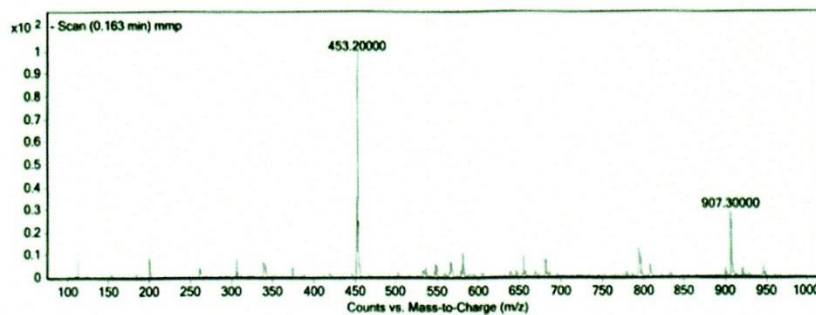
پپتیدهای سنتز شده از پایداری خوبی تا حداقل ۴ ساعت بعد از انکوباسیون با پروتئین‌های پلازما برخوردار بودند. نتایج LC-MS نمایانگر پایداری پپتیدها بود.

جدول ۱) خصوصیات فیزیکو شیمیائی پپتیدها و رادیوپپتیدها					
پپتید	جرم مولکولی	LC-MS جرم طیفی (M-1)	درصد خلوص رادیوشیمیایی	درصد بازده رادیوشیمیایی	(LogP) ضریب توزیع
PNBA-SVC	۴۵۶/۵	۴۵۵/۷			
PNBA-IAC	۴۵۴/۵	۴۵۳/۲			
PNBA-SVC- ^{99m} Tc			۹۴±۲/۳	۹۱±۳/۲	-۰/۰۰۶۸۹
PNBA-IAC- ^{99m} Tc			۹۵ ± ۱	۹۳±۱/۶	-۰/۰۰۷۴۵



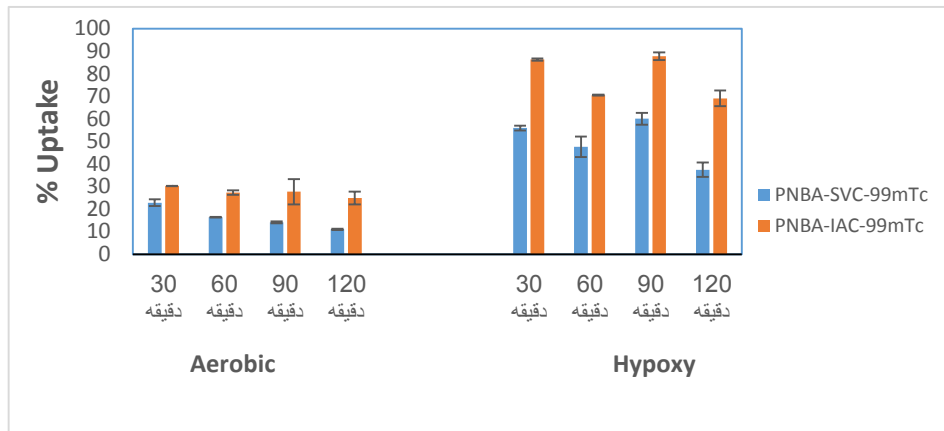
شکل ۱) طیف جرمی (LC-Mass) پپتید شماره ۱ (PNBA-SVC)

Fig 1) Mass spectrum of peptide 1 (PNBA-SVC)



شکل ۲) طیف جرمی (LC-Mass) پپتید شماره ۲ (PNBA-IAC)

Fig 2) Mass spectrum of peptide 2 (PNBA-IAC)



شکل ۳) درصد برداشت رادیوپپتیدها توسط سلول‌های MCF-7 در شرایط هوایی و بی‌هوایی نسبی در زمان‌های ۳۰، ۶۰، ۹۰ و ۱۲۰ دقیقه بعد از انکوباسیون (Fig 3) % Uptake of radiopeptides by MCF-7 cells in aerobic and hypoxy conditions at 30, 60, 90, and 120 min post incubation

بافت هیپوکسی و ماندگاری کافی در بافت مورد نظر را داشته باشند. در صورتی که این ترکیبات با رادیویزوتوپ مناسب نشاندار شوند در پزشکی هسته‌ای برای تشخیص بافت هیپوکسی به کار خواهند رفت. هدف این تحقیق معرفی ترکیباتی بود که با تکنسیم نشان‌دار شده و حاوی گروه نیترو برای به دام افتادن در بافت هیپوکسی باشند. به این منظور از تری‌پپتیدهای که نقش شلاتور را برای تکنسیم بازی می‌کنند استفاده شد. به منظور ماندگاری در بافت هیپوکسی از پارانیتروبنزوئیک اسید (به عنوان عامل دارنده گروه نیترو) بهره گرفته شد که به راحتی به توالی اسیدهای آمینه متصل می‌شود. البته در کارهای مشابه گذشته از پپتیدها در اتصال به ترکیبات نیترو ایمیدازولی به عنوان عامل دارنده گروه نیترو استفاده شده است (۱۸). همچنین از پپتیدهای نشاندار شده با تکنسیم^{99m} در تصویر برداری از ترومبوز استفاده شده است (۱۹ و ۲۰). برای سنتز پپتیدها از روش سنتز در فاز جامد (SPPS) با متد Fmoc استفاده شد. در این متد انتهای آمینی اسیدهای آمینه توسط یک عامل Fmoc پوشیده شده است تا به این ترتیب از واکنش گروه آمینی جلوگیری شود، که در مرحله‌ی اتصال اسیدهای آمینه این عامل

به منظور تعیین پایداری رادیوپپتیدها در طی زمان‌های مختلف کروماتوگرافی لایه نازک بر روی فاز ساکن سیلیکاژل انجام شد. نتایج حاکی از آن بود که خلوص رادیوشیمیائی برای هر دو رادیوپپتید در محلول نرمال سالین و پلاسمای انسانی در مدت زمان ۶ ساعت تغییر چندانی نمی‌کند.

بحث

هیپوکسی در نتیجه‌ی اکسیژن‌رسانی ناکافی به بافت ایجاد می‌شود. در بیماری‌هایی همچون ایسکمی‌های قلبی، مغزی و سرطان‌ها هیپوکسی شدن بافت‌ها اتفاق می‌افتد. از متداول‌ترین علت هیپوکسی، ایسکمی‌ها هستند (۱). سلول‌ها و بافت‌های دچار هیپوکسی به شیمی درمانی و رادیوتراپی پاسخ نمی‌دهند (۶-۳)، در نتیجه شناسایی و تشخیص به موقع بافت هیپوکسی به خصوص در این بیماری‌ها بسیار اهمیت دارد زیرا اگر بافت هیپوکسی به موقع تشخیص داده نشود، به مرور نکروزه شده و به بافت مرده تبدیل می‌شود و این حالت بسیار برای ارگان‌های حیاتی بدن خطرناک است (۷). برای تشخیص بافت هیپوکسی به ترکیباتی نیاز است که تمایل ورود به

توسط پپرازین برداشته شده تا اسید آمینه‌ی جدید به اسید آمینه قبلی متصل شود. طبق روش SPPS برای سنتز پپتید به یک پایه اولیه نیاز است که اسید آمینه‌ها یک به یک روی آن سوار شوند. به این منظور در این پژوهش از رزین ونگ استفاده شد که آمینو اسید اول با پیوند استری به رزین متصل می‌شود. آمینو اسیدهای بعدی از طریق عامل آلفا کربوکسیل خود به گروه آمین آزاد (فاقد عامل محافظ) مربوط به آمینو اسید متصل به رزین با پیوند آمیدی متصل می‌گردد. ترکیب پارانیتروبنزویک اسید بمانند یک آمینو اسید می‌تواند از طریق گروه کربوکسیل خود به آمین آزاد پپتید سوار شده بر رزین متصل شود. البته در اینجا نیازی به مرحله بعدی محافظت برداری نیست. در انتها، پپتید ساخته شده که حامل گروه نیترو است توسط تری فلئورو استیک اسید از رزین جدا می‌شود که پس از صاف شدن، محلول به‌دست آمده در اتر سرد، رسوب پپتید مربوطه را به‌دست می‌دهد. لازم به تذکر است که تری فلئورو استیک اسید حاوی مواد کمکی به دام‌انداز (scavengers) است تا عوامل محافظت کننده گروه‌های عاملی پپتید، پس از شکسته شدن از گروه عاملی خود به دام افتاده و به نقاط حساس دیگر پپتید حمله نکنند.

پپتیدهای سنتز شده با ^{99m}Tc نشاندار شدند. در این نشاندارسازی به یون تکنسیم با ساختار $[\text{Tc}=\text{O}]$ نیاز است تا با نیترژن و گوگرد موجود در پپتیدها کمپلکس تشکیل دهد. در ساختار این پپتیدها به دلیل وجود اسید آمینه سیستئین، گوگرد نیز وجود دارد. گوگرد لیگاند نرم است و برقراری پیوند آن با تکنسیم زمان بر است، گرچه در صورت تشکیل پیوند، گوگرد می‌تواند کمپلکسی مستحکم و قوی با تکنسیم برقرار کند. زمان بر بودن تشکیل کمپلکس، خطر تبدیل یون پرتکتتات

TcO_4^- آزاد به TcO_2 را دارد که کارایی لازم را در تشکیل کمپلکس ندارد. بنابراین برای جلوگیری از این تبدیل باید از یک شلاته کننده واسطه با عملکرد سریع در محیط واکنش استفاده شود که بدین منظور از محلول دی سدیم تارتارات به عنوان شلاتور استفاده شد. برای جلوگیری از تغییرات pH محیط، بافر آمونیوم استات به محیط واکنش اضافه شد. برای نشان‌دارسازی هر ترکیبی با تکنسیم نیاز به کلرید قلع (SnCl_2) در محیط واکنش است. نقش این ماده احیا پرتکتتات و آماده‌سازی آن برای انجام واکنش است. به این ترتیب که قلع با عدد اکسیداسیون +۲ وارد محیط واکنش شده و در مجاورت پرتکتتات تبدیل به Sn^{4+} می‌شود. دو الکترون آزاد شده از قلع به پرتکتتات داده شده و در نتیجه پرتکتتات احیاء شده می‌تواند با تارتارات به صورت موقت واکنش داده و تشکیل کمپلکس دهد. این واکنش ادامه می‌یابد، تا زمانی که یک لیگاند قوی‌تر وارد محیط واکنش شود. با ورود لیگاند قوی‌تر مانند گوگرد (که در ساختار پپتیدهای مورد نظر وجود دارد) سدیم تارتارات محیط را ترک کرده و تکنسیم احیا شده به گوگرد متصل می‌شود.

بررسی خلوص رادیوشیمیایی پپتیدهای نشان‌دار شده، به وسیله کروماتوگرافی لایه نازک (TLC) انجام شد. در دو تانک TLC، که یکی حاوی اتیل متیل کتون (EMK) و تانک دیگر حاوی استونیتریل و آب به نسبت مساوی بودند، دو ورقه TLC لکه‌گذاری شده، قرار گرفت. بعد از بالا رفتن نمونه‌ها، ورقه‌ها از تانک خارج شد و به نسبت $\frac{1}{3}$ ؛ $\frac{2}{3}$ بریده شد و اکتیویته هر قسمت جداگانه توسط دستگاه گاما کانتر اندازه‌گیری شد. حلال EMK، آن بخشی از نمونه را که حاوی TcO_4^- می‌باشد، باخود بالا می‌برد. بنابراین $\frac{2}{3}$ بالایی ورقه مؤید TcO_4^- موجود در نمونه است و $\frac{1}{3}$ پایینی

ورقه مخلوطی از پپتید نشاندار شده با TcO_2 می‌باشد. پس آنچه با استفاده از ورقه مربوط به حلال EMK قابل محاسبه است، درصد اکتیویته TcO_4^- به عنوان ناخالصی می‌باشد. حلال موجود در تانک آب و استونیتریل، پپتید نشاندار شده را به همراه TcO_4^- بالا می‌برد و آنچه که در پایین ورقه باقی می‌ماند، TcO_2 می‌باشد. با استفاده از ورقه مربوط به این تانک می‌توان درصد TcO_2 را به عنوان ناخالصی محاسبه کرد. در نهایت درصد نشاندار سازی پپتید برابر است با:

$$(\% TcO_4^- + \% TcO_2) - 100 = \text{درصد نشاندار سازی}$$

هر چه مجموع درصد TcO_4^- و TcO_2 کمتر باشد، درصد نشاندار شدن پپتید بیشتر و خلوص رادیوشیمیایی آن بالاتر است.

برای بررسی $\log P$ در مورد پپتیدها، انحلال‌پذیری پپتید در یک فاز آب دوست با انحلال‌پذیری آن در یک فاز آب گریز مقایسه می‌شود. در این روش، فاز آب دوست عموماً سرم فیزیولوژیک (سدیم کلراید ۰/۹ درصد در آب مقطر) و فاز آب گریز اکتانول نرمال (n-Octanol) می‌باشد. نسبت حجمی مصرفی از این دو حلال باید با هم برابر باشد تا مقایسه دقیق و درستی انجام شود. نتایج $\log P$ به این ترتیب تفسیر می‌شود، که اگر عدد حاصل از نظر ریاضی عددی منفی باشد، پپتید هیدروفیل است و تمایلش به فاز آبی بیشتر است و هر چه این عدد منفی‌تر باشد، هیدروفیلیته پپتید هم بیشتر است. اگر عدد حاصل از نسبت مربوطه مثبت باشد، پپتید لیپوفیل است و تمایلش به فاز آلی بیشتر است و هر چه این عدد مثبت‌تر باشد، پپتید لیپوفیل‌تر خواهد بود. از آنجا که هر سلول توسط یک غشا دو لایه چربی پوشیده شده است و بیشتر ساختار غشاء سلول از فسفولیپیدها تشکیل شده، بنابراین هر چه یک ترکیب لیپوفیل‌تر باشد، راحت‌تر از غشاء سلولی عبور

می‌کند و وارد سلول می‌شود. به عبارتی، احتمال عبور یک پپتید لیپوفیل از غشاء سلولی و ورود آن به سلول به مراتب بیشتر از ترکیبات هیدروفیل است. اگر لیپوفیلیته خیلی زیاد باشد، ترکیب در داخل غشاء به دام افتاده و وارد فضای داخل سلول نمی‌شود. بنابراین تعیین مقدار $\log P$ از این نظر اهمیت دارد. مطالعات قبلی نشان داده‌اند که $\log P$ نزدیک صفر برای ترکیباتی که به عنوان تصویربرداری بافت هیپوکسی مصرف می‌شوند، ایده‌آل است (۱۸). به عنوان مثال، $\log P$ ترکیب FMISO برابر ۰/۴۱ بود که برای ورود به بافت هیپوکسی بسیار مناسب بود (۲۱).

مقادیر $\log P$ پپتیدهای نشاندار سنتز شده حاضر گرچه منفی بودند ولی عدد به دست آمده نزدیک به صفر است، بنابراین احتمال ورود پپتیدهای سنتز شده به سلول هیپوکسی وجود دارد. در تحقیق حاضر، مطالعات جذب سلولی پپتیدهای نشاندار شده در دو شرایط هوازی (نرمال) و غیرهوازی (هیپوکسی) انجام شد تا نحوه عملکرد سلول‌ها در شرایط متفاوت در برابر این ترکیبات مورد مقایسه قرار گیرد. بررسی‌های برداشت سلولی پپتید ۱ در شرایط هوازی نشان داد که در ۳۰ دقیقه اول میزان برداشت پپتید به داخل سلول‌ها حدود ۲۳ درصد بود (شکل ۳). با گذر زمان طی ۶۰، ۹۰ و ۱۲۰ دقیقه میزان فعالیت پرتوزائی در سلول‌ها افت کرد و در مقابل میزان فعالیت پرتوزائی در فضای خارج سلولی بالا رفت. این بدین معنی است که در شرایط هوازی، پپتید حاوی گروه نیترو پس از ورود به سلول می‌تواند احیا شود و به مرور زمان در سلول اکسید گردد و از سلول خارج گردد. بنابراین ماندگاری پپتید در شرایط هوازی در داخل سلول پائین است. در سلول‌های هیپوکسی، میزان پپتید ۱ در ۳۰ دقیقه اول حدود ۵۵ درصد بود که با گذشت زمان از مقدار آن کاسته شد ولی کماکان نسبت به شرایط هوازی

ردیابی و تصویربرداری مناسب باشد. لازم به ذکر است که در این آزمایش‌های برداشت سلولی پیتیدها در شرایط هیپوکسی، به دلیل باز شدن مکرر درب جار، احتمال ورود اکسیژن به فضای داخل جار و نتیجتاً تضعیف و تغییر شرایط هیپوکسی وجود دارد که این خود می‌تواند در روند و نتایج آزمایش‌ها خطا ایجاد کند.

نتیجه‌گیری

در این مطالعه ۲ پیتید که در قسمت انتهایی آمینه آن‌ها، پارانیتروبنزوئیک اسید متصل بود، طراحی و سنتز شدند. پیتیدها با استفاده از ^{99m}Tc نشاندار شده و خلوص رادیو شیمیایی، بازده نشاندارسازی، پایداری، Log P و برداشت آن‌ها توسط سلول‌های MCF-7 در شرایط هوازی و بی‌هوازی بررسی شد. نشاندارسازی پیتیدها با بازده و خلوص بالایی به دست آمد. پیتیدها به علت داشتن Log P در حد صفر به نظر می‌رسد که به خوبی در بافت هیپوکسی به دام می‌افتند و تا زمان ۱۲۰ دقیقه می‌توانند در سلول‌ها بجا داشته باشند که این مدت زمان برای شناسایی، ردیابی و تصویربرداری از بافت مشکوک به سرطان می‌تواند کافی باشد. تأیید این مسئله نیازمند مطالعه با تعداد پیتیدهای بیشتر و لیپوفیل‌تر در ورود به انواع سلول‌های سرطانی در شرایط هوازی و هیپوکسی می‌باشد.

سپاس و قدردانی

این مقاله برگرفته از پایان نامه دکتری عمومی داروسازی خانم مهتاب محمدپور است. این کار تحقیقاتی تحت حمایت مالی هیچ سازمانی قرار نگرفته است.

تضاد منافع

هیچ‌گونه تعارض منافع توسط نویسندگان بیان نشده است.

مقدار آن در سلول‌ها بیشتر بود (شکل ۳). توضیح اینکه در شرایط هیپوکسی بافت، روند جذب سلولی پیتید تا ۳۰ دقیقه اول سریع بوده و سپس روند کند دفع پیتید از سلول تا دقیقه ۶۰ واقع شده و جذب مجدد با شدت بیشتر تا دقیقه ۹۰ صورت گرفته و سپس دفع بعدی از سلول‌ها واقع شده که به سمت ۱۲۰ دقیقه، روند نزولی در بقای پیتید در سلول ادامه یافته است. به نظر می‌رسد که روند دو مرحله‌ای جذب بخاطر مهیا شدن تدریجی و تشدید محیط هیپوکسی در سلول ایجاد شده باشد. در مورد پیتید ۲ در ورود به سلول‌ها در شرایط هوازی و بی‌هوازی روند مانند پیتید ۱ است با این تفاوت که میزان برداشت کلی پیتید ۲ توسط سلول در شرایط هیپوکسی نسبت به پیتید ۱ بالاتر می‌باشد، گرچه در مقایسه با شرایط نرمال، میزان برداشت نسبی پیتید ۲ کمتر از پیتید ۱ توسط سلول است (شکل ۳ ملاحظه شود). تحقیق حاضر نشان می‌دهد که پیتیدهای سنتز شده‌ی حامل پارانیتروبنزوئیک اسید با داشتن گروه نیترو در بخش پارای حلقه بنزنی می‌تواند مشابه پیتیدهای سنتز شده حامل ترکیبات نیترو ایمیدازولی (۱۸) عمل کرده و گروه نیتروی آزاد آن قابل دسترس برای احیا شدن باشد. البته در مقایسه با مطالعه مشابه گذشته (۱۸) که در آن، میزان برداشت پیتید توسط سلول در طول زمان ۱۲۰ دقیقه در شرایط هیپوکسی دو برابر شرایط نرمال گزارش شده است، در تحقیق حاضر در شرایط مشابه، میزان برداشت سلولی پیتیدها در مورد پیتید ۱ و ۲ در مقایسه شرایط هیپوکسی با شرایط نرمال به ترتیب ۴ و ۲/۸ برابر است که به مراتب عملکرد بهتری را نشان می‌دهد.

به‌طور کلی می‌توان گفت که بافت هیپوکسی در مقایسه با بافت عادی (نرمال) می‌تواند ترکیب نشاندار حاوی گروه نیترو را درون خود به دام اندازد و مدتی نگه دارد. این مدت می‌تواند برای شناخت بافت هیپوکسی جهت

References:

1. Mason RP, Zhao D, Pacheco-Torres J, et al. Multimodality Imaging of Hypoxia in Preclinical Settings. *Q J Nucl Med Mol Imaging* 2010; 54(3): 259-80.
2. Dhani N, Fyles A, Hedley D, et al. The Clinical Significance of Hypoxia in Human Cancers. *Semin Nucl Med* 2015; 45(2): 110-21.
3. Mees G, Dierckx R, Vangestel C, et al. Molecular Imaging of Hypoxia with Radiolabelled Agents. *Eur J Nucl Med Mol Imaging* 2009; 36(10): 1674-86.
4. Krohn KA, Link JM, Mason RP. Molecular Imaging of Hypoxia. *J Nucl Med* 2008; 49: 129S-48S.
5. Span PN, Bussink J. Biology of Hypoxia. *Semin Nucl Med* 2015; 45(2): 101-9.
6. Langen KJ, Eschmann SM. Correlative Imaging of Hypoxia and Angiogenesis. *J Nucl Med* 2008; 49(4): 515-6.
7. Linder KE, Chan Y-W, Cyr JE, et al. TcO (PnA. O-1-(2-nitroimidazole))[BMS-181321], A New Technetium-containing Nitroimidazole Complex for Imaging Hypoxia: Synthesis, Characterization, and Xanthine Oxidase-catalyzed Reduction. *J Med Chem* 1994; 37(1): 9-17.
8. Nunn A, Linder K, Strauss HW. Nitroimidazoles and Imaging Hypoxia. *Eur J Nucl Med* 1995; 22(3): 265-80.
9. Le QT, Courter D. Clinical Biomarkers for Hypoxia Targeting. *Cancer Metastasis Rev* 2008; 27(3): 351-62.
10. Varia MA, Calkins-Adams DP, Rinker LH, et al. Pimonidazole: A Novel Hypoxia Marker for Complementary Study of Tumor Hypoxia and Cell Proliferation in Cervical Carcinoma. *Gynecol Oncol* 1998; 71(2): 270-7.
11. Melo T, Tunggal JK, Ballinger JR, et al. Flux Through Multicellular Layers of A Technetium-99m-Nitroimidazole for Imaging Hypoxia. *Cancer Biother Radiopharm* 2002; 17(5): 515-26.
12. Rezaeiانpour S, Mosayebnia M, Bozorgi AH, et al. Design, Synthesis and Radiolabeling of Peptide GPRPILE with ¹⁸FDG as Fibrin Imaging Agent for Thrombosis Detection. *Iran South Med J* 2018; 21(3): 228-41.
13. Liu S, Edwards DS. 99mTc-labeled Small Peptides As Diagnostic Radiopharmaceuticals. *Chem Rev* 1999; 99(9): 2235-68.
14. Klimentzou P, Beck A, Varvarigou A, et al. Solid-phase Synthesis of a Peptide Derivative of Thymosin alpha1 and Initial Studies on its 99mTc-Radiolabelling. *Chem Biol Drug Des* 2007; 70: 40-6.
15. Couture F, Levesque C, Dumulon-Perreault V, et al. PACE4-based Molecular Targeting of Prostate Cancer Using An Engineered 64 Cu-radiolabeled Peptide Inhibitor. *Neoplasia* 2014; 16(8): 634-43.
16. Karachaliou CE, Liolios C, Triantis C, et al. Specific in Vitro Binding of Prothymosin alpha on Human Neutrophils. *Int J Pharm* 2015; 486(1-2):1-12.
17. Hausner SH, Bauer N, Hu LY, et al. The Effect of Bi-Terminal PEGylation of an Integrin $\alpha\beta6$ -Targeted 18F Peptide on Pharmacokinetics and Tumor Uptake. *J Nucl Med* 2015; 56(5): 784-90.
18. Zhang X, Su ZF, Ballinger JR, et al. Targeting Hypoxia in Tumors Using 2-nitroimidazoles with Peptidic Chelators for Technetium-99m: Effect of Lipophilicity. *Bioconjug Chem* 2000; 11: 401-7.
19. Rezaeiانpour S, Bozorgi AH, Moghimi A, et al. Synthesis and Biological Evaluation of Cyclic [99mTc]-HYNIC-CGPRPPC as a Fibrin-Binding Peptide for Molecular Imaging of Thrombosis and Its Comparison with [99mTc]-HYNIC-GPRPP. *Mol Imaging Biol* 2017; 19(2):256-64.
20. Mosayebnia M, Hajiramezanali M, Shahhosseini S, et al. Docking, synthesis, in-vitro evaluation, and optimization of reaction conditions for direct radiolabeling of CGPRPPC with technetium-99m through the GAGG sequence. *Nuclear Medicine Communications* 2018; 39(11): 976-982.
21. Rasey JS, Koh W-J, Grierson JR, et al. Radiolabeled Fluoromisonidazole As Imaging Agent for Tumor Hypoxia. *Int J Radiat Oncol Biol Phys* 1989; 17(5): 985-91.

Original Article

Design, Synthesis and Labeling of Tripeptide Derivatives with ^{99m}Tc as Hypoxia Imaging Agents

MH. Houshdar Tehrnai (PhD)^{1*}, M. Mohammadpoor (Pharm D)²,
S. Shahhosseini (PhD)¹

¹ Pharmaceutical Chemistry & Nuclear Medicine Dept, School of Pharmacy, Shahid Beheshti University of Medical Sciences, Tehran, Iran

² Pharmaceutical Sciences Branch, Islamic Azad University, Tehran, Iran

(Received 1 Jan, 2019 Accepted 13 Mar, 2019)

Abstract

Background: Many diseases, including cancer, ischemia and tumors show degrees of tissue hypoxia. Therefore, it is useful to detect tissue hypoxia with compounds that can penetrate and remain in hypoxic cells in order to diagnose cancer at early stages. Peptides with low molecular weight, susceptible to redox environment, with easier penetration into tissues and low antigenic characteristics are good candidates, as compared to antibodies and proteins. Therefore, radiolabeling small lipophilic peptides containing a nitro group with ^{99m}Tc to enter and remain in the hypoxic cell for imaging hypoxic tissue is a good strategy for earlier detection of tumors, which leads to more effective and satisfactory treatment.

Materials and Methods: In this study, some tripeptides were synthesized with added para nitro benzoic acid (PNBA) group at their N-terminal using solid phase peptide synthesis (SPPS) method with Fmoc strategy using Wang resin. The peptides were labeled with ^{99m}Tc and their characterizations were determined using chromatographic techniques and partition coefficient experiments. A hypoxia Jar system was used to examine cellular uptake of the labeled peptides exposed to MCF-7 cells in normal and hypoxic conditions for 30 to 120 min.

Results: Synthesis of the peptides resulted in good yields (70% to 78%). The synthesized peptides and radiopeptides were stable in normal saline and human plasma for at least 4 h and 6 h, respectively. Radiochemical purity (RCP) of the synthesized labeled peptides was $\approx 94\%$ with lipophilicity (Log P) ≈ -0.006 . Furthermore, labeled peptides exposed to MCF-7 cells could remain in hypoxic cells longer than those in normal cells.

Conclusion: Considering the results obtained in this study, the peptide derivatives labeled with ^{99m}Tc , appear to be appropriate agents for the detection and imaging of hypoxic tissues.

Keywords: Solid phase synthesis, Peptide, Radiolabeling, ^{99m}Tc , Hypoxia

©Iran South Med J. All right reserved

Cite this article as: Houshdar Tehrnai MH, Mohammadpoor M, Shahhosseini S. Design, Synthesis and Labeling of Tripeptide Derivatives with ^{99m}Tc as Hypoxia Imaging Agents. Iran South Med J 2019;22(3):160-173

Copyright © 2019 Houshdar Tehrnai, et al This is an open-access article distributed under the terms of the Creative Commons Attribution-noncommercial 4.0 International License which permits copy and redistribute the material just in noncommercial usages, provided the original work is properly cited.

* Address for correspondence: Pharmaceutical Chemistry & Nuclear Medicine Dept., School of Pharmacy, Shahid Beheshti University of Medical Sciences, Tehran, Iran. E-mail: m_houshdar@sbmu.ac.ir

*ORCID: 0000-0001-9820-4156

Website: <http://bpums.ac.ir>
Journal Address: <http://ismj.bpums.ac.ir>